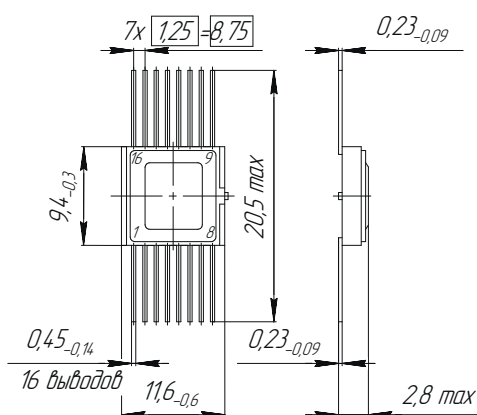
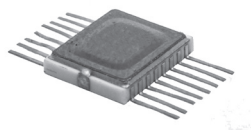


# 571ХЛ5

БКО.347.155-04 ТУ

Интерфейсная схема в составе  
шести магистральных неинвертирующих элементов  
с тремя состояниями на выходе и на входе

Организация межблочных  
и межмодульных связей в аппаратуре  
многомодульных средств вычислительной техники  
повышенного быстродействия.  
 $T_{\text{экспл}}: -60^{\circ}\text{C} \dots +125^{\circ}\text{C}$



1, 15	Входы управления третьим состоянием
2, 4, 6, 10, 12, 14	Информационные входы
3, 5, 7, 9, 11, 13	Информационные выходы
16	Шина питания
8	Общий вывод

Металлокерамические корпуса 4112.16-2, 4112.16-2Н, 4112.16-2.01

Наименование параметра, единица измерения (режим измерения при $T_{\text{окр. ср.}} = +25^{\circ}\text{C}$ )	Буквенное обозначение	Значение параметров		Примечание
		не менее	не более	
Выходное напряжение низкого уровня, В ( $U_I = -0,5 \dots 0,8 \text{ В}$ , $U_{EI} = -0,5 \dots 0,8 \text{ В}$ , $U_{CC} = 4,5 \dots 5,5 \text{ В}$ , $I_{OL} = 12 \text{ мА}$ )	$U_{OL}$	-	0,34	1
( $U_I = -0,5 \dots 0,8 \text{ В}$ , $U_{EI} = -0,5 \dots 0,8 \text{ В}$ , $U_{CC} = 4,5 \dots 5,5 \text{ В}$ , $I_{OL} = 24 \text{ мА}$ )			0,44	
Выходное напряжение высокого уровня, В ( $U_I = 2,0 \dots 5,5 \text{ В}$ , $U_{EI} = -0,5 \dots 0,8 \text{ В}$ , $U_{CC} = 4,5 \dots 5,5 \text{ В}$ , $I_{OH} = 2,6 \text{ мА}$ )	$U_{OH}$	2,6		2
Прямое падение напряжения на антизвонном диоде, В ( $I_{CDI} = -18 \text{ мА}$ )	$U_{CDI}$	-	1,4	4
Входной ток низкого уровня, мА по информационным входам ( $U_I = 0,4 \text{ В}$ , $U_{EI} = -0,5 \dots 0,8 \text{ В}$ , $U_{CC} = 4,5 \dots 5,5 \text{ В}$ )	$I_{IL}$	-	0,32	1
по входам управления ( $U_{EI} = 0,4 \text{ В}$ , $U_I = -0,5 \dots 5,5 \text{ В}$ , $U_{CC} = 4,5 \dots 5,5 \text{ В}$ )			0,32	
Входной ток высокого уровня, мкА по информационным входам ( $U_I = 2,7 \text{ В}$ , $U_{EI} = -0,5 \dots 0,8 \text{ В}$ , $U_{CC} = 4,5 \dots 5,5 \text{ В}$ )			10	
( $U_I = 6,0 \text{ В}$ , $U_{EI} = -0,5 \dots 0,8 \text{ В}$ , $U_{CC} = 4,5 \dots 5,5 \text{ В}$ )	$I_{IH}$	-	50	2
по входам управления ( $U_{EI} = 2,7 \text{ В}$ , $U_I = -0,5 \dots 5,5 \text{ В}$ , $U_{CC} = 4,5 \dots 5,5 \text{ В}$ )			10	
( $U_{EI} = 6,0 \text{ В}$ , $U_I = -0,5 \dots 5,5 \text{ В}$ , $U_{CC} = 4,5 \dots 5,5 \text{ В}$ )			50	

Возможна поставка в бескорпусном исполнении разделенными или не разделенными на кристаллы

Наименование параметра, единица измерения (режим измерения при $T_{\text{окр. ср.}} = +25^{\circ}\text{C}$ )	Буквенное обозначение	Значение параметров		Примечание
		не менее	не более	
Входной ток низкого уровня в состоянии "Выключено", мкА ( $U_I = 0,4 \text{ В}, U_{E1} = 2,0 \dots 5,5 \text{ В}, U_{CC} = 4,5 \dots 5,5 \text{ В}$ ) ( $U_I = 0,4 \text{ В}, U_{E1} = -0,5 \dots 5,5 \text{ В}, U_{CC} = 0$ )	$I_{IZL}$	-	10 10	1
Входной ток высокого уровня в состоянии "Выключено", мкА ( $U_I = 2,7 \text{ В}, U_{E1} = 2,0 \dots 5,5 \text{ В}, U_{CC} = 4,5 \dots 5,5 \text{ В}$ ) ( $U_I = 2,7 \text{ В}, U_{E1} = -0,5 \dots 5,5 \text{ В}, U_{CC} = 0$ )	$I_{IZL}$	-	10 10	2
Выходной ток низкого уровня в состоянии "Выключено", мкА ( $U_O = 0,4 \text{ В}, U_I = -0,5 \dots 5,5 \text{ В}, U_{E1} = 2,0 \dots 5,5 \text{ В}, U_{CC} = 4,5 \dots 5,5 \text{ В}$ ) ( $U_O = 0,4 \text{ В}, U_I = -0,5 \dots 5,5 \text{ В}, U_{E1} = -0,5 \dots 5,5 \text{ В}, U_{CC} = 0$ )	$I_{OZL}$	-	10 10	
Выходной ток высокого уровня в состоянии "Выключено", мкА ( $U_O = 5,5 \text{ В}, U_I = -0,5 \dots 5,5 \text{ В}, U_{E1} = 2,0 \dots 5,5 \text{ В}, U_{CC} = 4,5 \dots 5,5 \text{ В}$ ) ( $U_O = 5,5 \text{ В}, U_I = -0,5 \dots 5,5 \text{ В}, U_{E1} = -0,5 \dots 5,5 \text{ В}, U_{CC} = 0$ )	$I_{OZH}$	-	10 10	
Ток короткого замыкания, мА ( $U_O = 0, U_{E1} = -0,5 \dots 0,8 \text{ В}, U_I = -0,5 \dots 0,8 \text{ В}, U_{CC} = 5,5 \text{ В}$ )	$I_{OS}$	40	212	4
Ток потребления в состоянии "Выключено", мА ( $U_I = 0 \dots 5,5 \text{ В}, U_{E1} = 2,0 \dots 5,5 \text{ В}, U_{CC} = 4,5 \dots 5,5 \text{ В}$ )	$I_{CCZ}$	-	21	
Время задержки распространения сигнала при включении, нс ( $U_{CC} = 5 \text{ В}, U_{E11} = 0,4 \text{ В}, U_I = \Gamma$ , $C_L = 40 \text{ пФ}, R1 = 1,2 \text{ кОм} \pm 1\%, R2 = 680 \text{ Ом} \pm 1\%$ )	$t_{PHL}$	-	22	2
Время задержки распространения сигнала при выключении, нс ( $U_{CC} = 5 \text{ В}, U_{E11} = 0,4 \text{ В}, C_L = 40 \text{ пФ}$ , $R1 = 1,2 \text{ кОм} \pm 1\%, R2 = 680 \text{ Ом} \pm 1\%, U_I = \Gamma$ )	$t_{PLH}$	-	16	2
Время задержки распространения сигнала при переключении из состояния низкого уровня в состояние "Выключено", нс ( $U_{CC} = 5 \text{ В}, U_I = 0,4 \text{ В}, U_{E12} = 2,4 \text{ В}$ , $C_L = 40 \text{ пФ}, U_{E11} = \Gamma, R1 = 1,2 \text{ кОм} \pm 1\%, R2 = 680 \text{ Ом} \pm 1\%$ ) ( $U_{CC} = 5 \text{ В}, U_I = 0,4 \text{ В}, U_{E12} = 2,4 \text{ В}$ , $C_L = 5 \text{ пФ}, U_{E11} = \Gamma, R1 = 1,2 \text{ кОм} \pm 1\%, R2 = 680 \text{ Ом} \pm 1\%$ )	$t_{PLZ}$	-	45 35	3
Время задержки распространения сигнала при переключении из состояния "Выключено" в состояние низкого уровня, нс ( $U_{CC} = 5 \text{ В}, U_I = 0,4 \text{ В}, U_{E12} = 2,4 \text{ В}, C_L = 40 \text{ пФ}$ , $U_{E11} = \Gamma, R2 = 680 \text{ Ом} \pm 1\%$ )	$t_{PZL}$	-	40	
Время задержки распространения сигнала при переключении из состояния высокого уровня в состояние "Выключено", нс ( $U_{CC} = 5 \text{ В}, U_I = 2,4 \text{ В}, U_{E12} = 2,4 \text{ В}, C_L = 40 \text{ пФ}$ , $U_{E11} = \Gamma, R1 = 1,2 \text{ кОм} \pm 1\%, R2 = 680 \text{ Ом} \pm 1\%$ ) ( $U_{CC} = 5 \text{ В}, U_I = 2,4 \text{ В}, U_{E12} = 2,4 \text{ В}, C_L = 5 \text{ пФ}$ , $U_{E1} = \Gamma, R1 = 1,2 \text{ кОм} \pm 1\%, R2 = 680 \text{ Ом} \pm 1\%$ )	$t_{PHZ}$	-	40 30	3
Время задержки распространения сигнала при переключении из состояния "Выключено" в состояние высокого уровня, нс ( $U_{CC} = 5 \text{ В}, U_I = 2,4 \text{ В}, U_{E12} = 2,4 \text{ В}, C_L = 40 \text{ пФ}$ , $R1 = 1,2 \text{ кОм} \pm 1\%, U_{E11} = \Gamma$ )	$t_{PZH}$	-	35	
Напряжение питания, В	$U_{CC}$	4,5	5,5	
Входное напряжение, В	$U_{I \text{ max}}$	-	5,5	
Напряжение, приложенное к выходу, В	$U_{O \text{ max}}$	-	5,5	

Примечания: 1. При измерении  $U_{OL}, I_{IH}, I_{IZH}, t_{PHL}, t_{PLH}$  на незадействованные входы подается напряжение 0,4 В.

2. При измерении  $U_{OH}, I_{IL}, I_{IZL}$  на незадействованные входы подается напряжение 2,4 В.

3. Соответствие параметров  $t_{PLZ}, t_{PHZ}$  указанным нормам при  $C_L = 5 \text{ пФ}$  обеспечивается контролем этих параметров при  $C_L = (40 \pm 4) \text{ пФ}$ .

4. Эксплуатация микросхем в режимах измерения тока короткого замыкания и прямого падения напряжения на антизвонном диоде запрещается.